

# 室外配电装置 架空綫的力学計算

陈寄炎著



水利电力出版社

## 序　　言

室外配电裝置架空綫的力学計算是变电所設計的一項重要內容，关于本課題的研究在世界各国已有一些論著（参考文献1至6）。在这些論著中最值得一提的是苏联学者秦修克博士（И.Н.Денсюк）在1933年所著的“室外变电所导綫的力学計算”一書，迄至本書出版之前，該書是唯一的一本关于本課題的专著，但可惜国内尙无該書的中譯本。在我国，除黃眉教授的論文与本書外就很少有这方面的中文材料了。

本書的目的是拟向讀者介紹目前解决本課題的主要方法，特別是为了使初学者易于建立一个統一的概念起見，作者是从一个基本关系式出发說明采用那种假定条件便可得到那种計算方法，因此本書中所介紹的各种公式和推导方法都无意因襲現成的資料。例如在第二章中叙述索多邊形原理的計算法时，前人都是把等高悬挂与不等高悬挂（实际上他們只討論了高度差甚小的不等高悬挂情形）、有集中荷載与无集中荷載等情形分別研究，因而导出数套独立的公式，而本書第二章中則仅推演出一套統一的公式，它既适用于等高悬挂的情形，也适用于不等高的情形（高度差可为任意值）；它既适合于无集中荷重的情形，又适用于具有任意个集中荷重的情形。不过由于用索多邊形原理来解决本課題的做法是前人所創立的，因此仍应归功于前人。

第一章及第五章是为初学者而写的，不是本書的主要內容。

附录“古德曼函数表”是由慧月，赵慧蓮两位同志分别进行計算的，化費了他們一个多星期的時間。此外本書的全部繪写和制图都是由慧月同志担任的，特此志之，以表謝忱。

本書作者深知个人學識淺陋，又缺乏实际工作經驗，故誤謬之处在所难免，特請各位同志多多指教。

## 目 录

第一章	室外配电裝置概說.....	3
第二章	第一种計算法.....	11
第三章	第二种計算法.....	25
第四章	第三种計算法.....	32
第五章	鋼芯鉛線的力学計算.....	40
第六章	結束語.....	43
附 录	古德曼反函数表 .....	46
参考文献		

# 第一章 室外配电裝置概說

## 第1节 引言

配电裝置是用以接受和分配电能的，它是由开关設備、保护設備、計量設備、母線等电气設備及建筑物所組成的。各电气設備在位置上是互相隔離的，但彼此均以架空导線或電纜連成一体。

配电裝置計分室外与室內式两类，室內配电裝置是将各电气設備布置于建筑物之内，一般电压在35千伏以下的变电所多采用之。室外配电裝置則将各电气設備布置于露天坪地上，一般电压在35千伏以上的变电所均采用之。但如配电裝置位于空气汚秽地区，或周圍有为害于絕緣及导線的气体的地区，则电压虽高于35千伏以上但仍宜采用室內配电裝置。

室外配电裝置不需建造建筑物，故可节省投資又可縮短施工期限，各电气設備間及其对地間之距离均可放宽，而且便于扩建和改建。但其缺点是占地面积較大，电气設備易于污髒，并且維护操作較为不便。

室外配电裝置中每一回路的电气設備所占的場地称为間隔，例如有送電線間隔，变压器間隔及避雷器間隔等。图1-1为110千伏电压的室外配电裝置的变压器間隔，图中除繪出变压器、断路器、隔离开关等电气設備外还表示出架空悬挂的导線和絕緣碍子串，导線是經過两端的絕緣碍子串固定于支柱上，并以引下線与各电气設備相連接。在本書中，为了便于叙述起見，将每根架空悬挂的金屬导線及其两端的絕緣碍子串視

为一个整体，统称为架空线。

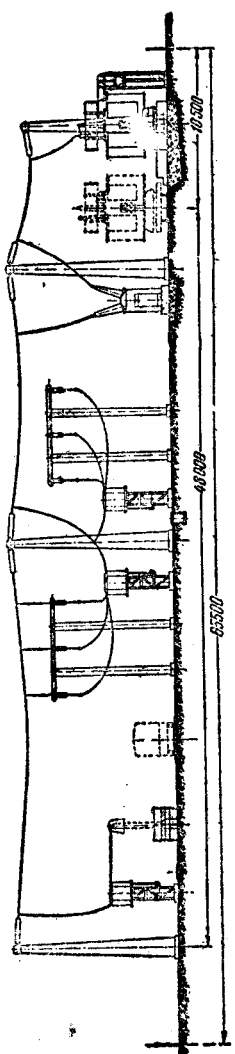


图 1-1

室外配电装置一般均布置在平坦的地方，架空线的两端悬挂在同一水平线上，这称为等高悬挂。但在山区建造水力发电站或在矿山企业中建设变电所时，有时找不到足够的坪地来建造室外配电装置，为了减少土方和石方工程可将变电所布置成阶段式的。图 1-2 即示一阶段式变电所（我国东北已有此类变电所，估计今后在我国西南与西北地区也会出现）。在图中架空线的两端悬挂在不同的水平线上，具有一定的高度差，此为不等高悬挂的情形。

## 第2节 金属导线

架空悬挂的金属导线按其材料分有铜线、铝（或铝合金）线、钢线及钢心铝线四种。室外配电装置一般宜采用钢心铝线。我国设计部门规定当电流大于 4 千安培时才采用铜线（通常在母线桥中遇见）。此外在对钢心铝线腐蚀性强的地区（例如在海岸、碱湖或化学工厂附近）也采用铜线。在进行设计时，若无详细资料可供参考时，可认为在海岸、碱湖或化学工厂附近五公里以内地区为对钢心铝线具有强烈腐蚀性的地区。

按照电气设备安装规程的要求，架

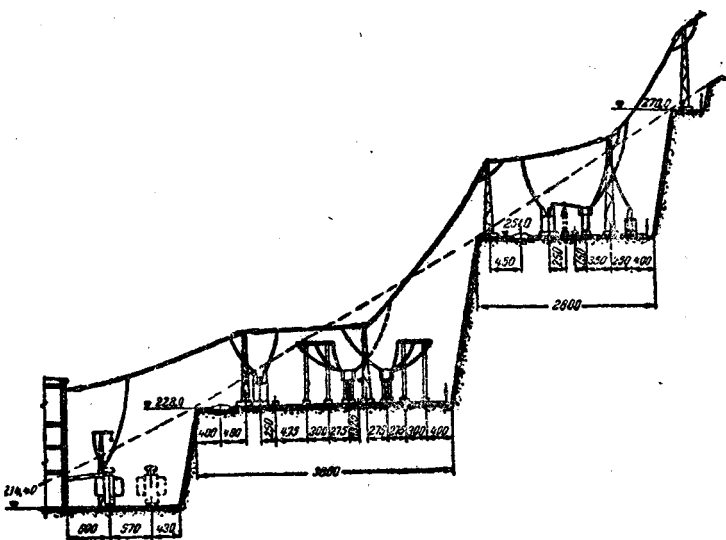


图 1-2

空导线不能采用单股金属线，必须采取多股绞线，不采用绝缘线而采用裸导线。

导线的连接方法采用螺丝连接或压接等办法，但不采用锡焊（或银焊）及绑扎。引下线则是用线夹与导线相联接，用以保证导线的完整性。

在同一水平面上各相导线间的最小距离按下式计算。

$$d = K \sqrt{f} + A.$$

式中  $f$  —— 导线的最大弛度（公分）；

$K = 7.5$ （铜线）、或  $10$ （铝线及钢心铝线）；

$A$  —— 最小接近距离（按表 1-1 之规定）。

导线截面的选择是根据经济电流密度决定的，并作机械强度的校验。当电压大于 35 千伏时还应作电量作用的校验。按照

表 1-1 室外配电装置各相导线的容许最小接近距离

距 离 (公分)	额定线间电压(千伏)						
	10以下	20	35	110	154	220	400
A	20	30	40	100	140	200	375

规程之规定导线的安全系数一般不应小于4，故铜导线的容许使用应力为5公斤/平方公厘，铝线和钢心铝线为3公斤/平方公厘(我国电力建设总局设计处对铝的容许应力采用4公斤/平方公厘)。

### 第3节 絶緣碍子串

絶緣碍子串是由数个絶緣碍子及金属附件连成，其形状如图1-3所示。

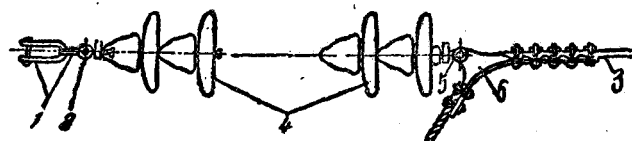


图 1-3 絶緣碍子串詳圖

1—U形环；2—耳环；3—导线；4—絶緣碍子；5—連絡板；6—耐拉綫夾。

每串中的碍子个数决定于配电装置的额定电压，一般规定如表1-2所示。

若室外配电装置位于空气污浊地区(如海岸或燃用劣质煤的发电厂附近时)，为了增强其绝缘水平，常增加碍子使用个数或采用特种型式的碍子。

按照电气设备安装规程的要求，碍子串及其金属附件的机械强度的安全系数，不得小于4。

表 1-2 碼子的使用个数表(用III-45型)

綫間电压(千伏)	220	154	110	110	35~20	35~20
支架情况	金屬支柱	金屬支柱	金屬支柱	木支柱	金屬支柱	木支柱
每串耐拉碍子串中碍子的使用个数	16	12	8	7	4~5	3
每串耐拉碍子串的平均长度(公分)	288	220	152	135	84~101	67
每串耐拉碍子串的平均重量(公斤)	100	80	55	50	30~35	25

随着近代科学技术的发展，苏联已經建成了一条 400 千伏的超高压輸电綫路，以后还将建設500千伏以上的新輸电綫路，在这种超高压电网的配电装置中，絕緣碍子串的长度可达 7 公尺，重量可达 0.5~1.2 公吨。这样絕緣碍子串对于架空綫的形狀与机械应力的影响将日益显著，所以今后配电装置架空綫的力学計算中必須更仔細地考慮絕緣碍子串的影响。

#### 第 4 节 架空綫力学計算的概念

配电装置架空綫的力学計算的目的是：

- (1)求得在架空綫安装时的应力与弛度；
- (2)求得架空綫的最大弛度，用以确定支柱的高度；
- (3)有时为了校驗室外配电装置的絕緣配合的要求，常須計算在发生大气过电压和操作过电压时架空綫的弛度。

在計算架空綫安装时的应力时，必須考慮到在最严重的气象条件下，架空綫中的金属导綫和絕緣碍子串所承受的最大应力不超过其容許使用应力。

就导綫的应力而言，最严重的气象条件可能在两种不同的情况下出現：第一种情形是在最低温度时架空綫因收縮而产生較大应力；另一种情形是当架空綫积有冰层并承受风力时，架

空綫因荷載的增加而產生較大的應力。欲確定此兩種情況究以何者為最嚴重時，則可以計算架空綫的臨界檔距以判定之。

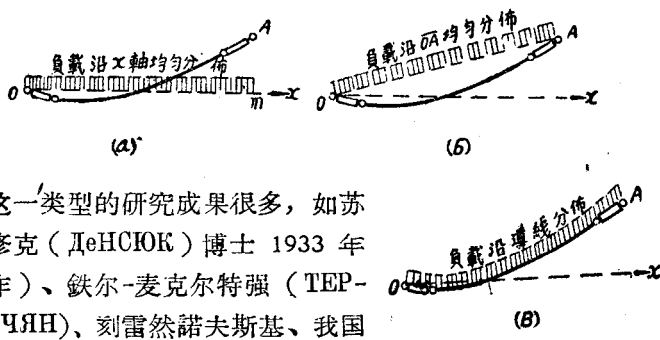
架空綫的最大弛度發生於氣溫最高或負有冰層的時節，按規程之規定，架空綫力學計算時採用的氣象條件見表1-3。

表 1-3 架空綫的力學計算用的氣象條件

計 算 条 件	各類地區的氣象條件				備 注
	I	II	III	IV	
大 气 溫 度	最高溫度 最低溫度 架空綫積有冰層時 計算過電壓的絕緣配合時	+40°C -40°C +5°C +15°C			這是按照“電氣裝置安裝規程”的規定而列出的。我國一般設計中最大溫度目前采用+70°C。蘇聯古比雪夫至莫斯科的400千伏送電線和變電站的設計中最大溫度亦已采用+70°C。
風	架空綫在正常情況	架空綫上無冰時	25公尺/秒		
		架空綫上有冰時	10公尺/秒	15公尺/秒	
速	架空綫在事故情況，並有冰時		0		
	周圍氣溫在±40°C		0		
	計算操作過電壓的絕緣配合時 計算大氣過電壓的絕緣配合時		15公尺/秒 10公尺/秒		
冰 層	厚度(公分)	0.5	1	1.5	2
	比重			0.9	

為了計算架空綫的應力和弛度，必須列出架空綫的曲線方程式。室外配電裝置的架空綫與輸電線路的架空綫不同，輸電線路的檔距較長，絕緣子串的影響較小，故架空綫力學計算時不考慮絕緣子串，認為全部架空綫都由金屬導線組成。但室外配電裝置架空綫的力學計算時必須考慮絕緣子串對曲線形狀的影響，而且還要考慮一些引下線所構成的集中荷重，因為這種引下線所構成的集中荷重，在最嚴重的情況，其重量可達數十公斤或數百公斤。

对室外配电装置架空线的曲线方程式和其力学计算法的研究，已经有许多学者研究过，并获得一些成果，有些已应用于工程技术上。根据作者的意见，这些研究的成果可以分为三种类型。第一种类型（或称为第一种计算法）的特点是把架空线的荷载近似地看成是沿水平线  $Om$  分布的（参看图1-4a）。



这一类型的研究成果很多，如苏联秦修克（ДЕНСЮК）博士 1933 年的著作）、铁尔-麦克尔特强（ТЕР-МКРТЧЯН）、刻雷然諾夫斯基、我国黄眉教授、相年德同志及一些欧美学者等都各自推得一些公式，不过，这些研究成果，无论他们在公式的形式上或在推导的方法上有多少差别，因为他们基于同样的假设条件，所以各自的結果都可以经过一定的数学变换而变成同一的公式，因此本书第二章中将选择一种方法（索多边形原理）来说明这一类型的情况。

第二类计算法是1952年苏联秦修克博士提出的，它的特点是把荷载看成沿直线  $OA$  分布的（参看图1-4b）。显然这种假定对不等高悬挂的情形而言，较前者合理，因之，所导得的公式较为精确。

第三类计算法是把荷载按其真实分布情况来处理（参看图1-4c，导线的荷载实际上 是沿曲线  $OA$  分布的），这类计算法目前有本书作者所导得之公式，将在本书第四章中介绍。

## 第5节 架空綫的荷載

架空綫的荷載共有三項：

- (1) 金屬導線和碍子串本身的重量；
- (2) 金屬導線和碍子串所积的冰层的重量；
- (3) 金屬導線和碍子串上所受的风力。

因为这些荷載都是均匀地分布在金屬導線和碍子串的全綫上，故以比荷載(即每单位长度，单位導線截面上分布的荷載)表征最为方便。

(一) 金屬導線本身重量构成的比荷載可按下式計算：

$$g_1 = \frac{G}{q} \times 10^{-3} \text{ (公斤/公尺·平方公厘).} \quad (1-1)$$

式中  $G$ ——金屬導線每一公里的重量(公斤)；

$q$ ——金屬導線的截面积(平方公厘)。

(二) 冰层重量所构成的比荷載可按下式計算：

$$g_2 = 2.83 \frac{b(d+b)}{q} \times 10^{-3} \text{ (公斤/公尺·平方公厘).} \quad (1-2)$$

式中  $d$ ——金屬導線的外徑(公厘)；

$b$ ——冰层的厚度(公厘)。

(三) 风压所构成的比荷載可按下两式計算：

$$g_4 = \frac{0.0636v^2d}{q} \times 10^{-3} \text{ (公斤/公尺·平方公厘).} \quad (1-3)$$

$$g_5 = \frac{0.0636v^2(d+2b)}{q} \times 10^{-3} \text{ (公斤/公尺·平方公厘).} \quad (1-4)$$

式中  $g_4$ ——金屬導線无冰时承受的风压；

$g_5$ ——金屬導線有冰时承受的风压；

$v$ ——风速(公尺/秒)。

习惯上以  $g_3$  表示金屬導線的本身重量和冰重的总比荷載，

以  $g_6$  表示导线无冰时因本身重量与风压所构成的总比荷载，而以  $g_7$  表示导线由于冰、风压及其本身重量所构成的总比荷载，则

$$g_8 = g_1 + g_2. \quad (1-5)$$

$$g_6 = \sqrt{g_1^2 + g_4^2}. \quad (1-6)$$

$$g_7 = \sqrt{g_3^2 + g_5^2}. \quad (1-7)$$

(四) 绝缘碍子串的比荷载可按下式计算：

$$\cdot \quad g_F = \frac{G}{qL_F}. \quad (\text{公斤/公尺} \cdot \text{平方公厘}) \quad (1-8)$$

式中  $G$ ——绝缘碍子串的重量(公斤)；

$L_F$ ——绝缘碍子串的长度(公尺)。

(1-8)式的物理意义就是用一段导线去代替绝缘碍子串，这段导线的长度仍等于绝缘碍子串的长度，其重量也等于绝缘碍子串的重量，而其截面则等于悬挂在该绝缘碍子串上的金属导线的截面。

## 第二章 第一种计算法

### 第一节 架空线的基本关系式

在第一章第4节中已经提到本书的叙述方法是拟从一个基本方程式出发，说明采用那种假定则可得那种计算法，所以我们未具体研究各种计算方法之前，应先推出架空线的基本方程式，并且暂时我们只研究由单一金属导线与绝缘碍子串所组成的架空线，而对钢心铝线所组成的架空线则留待最后去讨论。

如图2-1所示，设有一架空线固定悬挂于  $O, A$  两点，因为

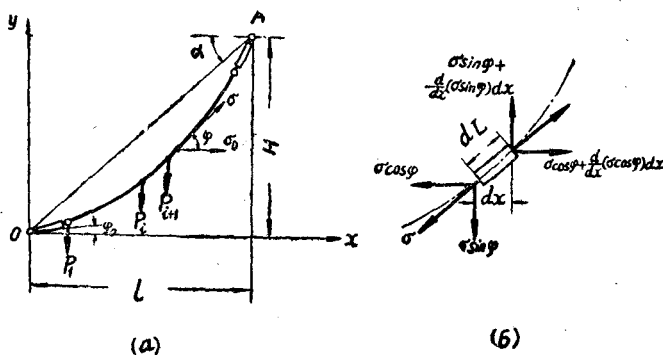


图 2-1

架空綫是由金屬導線，及絕緣磚子串等不同材料所組成，並且在一些固定點上懸有集中荷重，故沿架空綫各點的比荷載不為恆值。

設  $g$ ——架空綫上任意一點的比荷載；

$\sigma$ ——架空綫上任意一點的切線方向的應力；

$\sigma_0$ ——架空綫上任意一點的水平方向的應力；

$L$ ——架空綫的長度；

$l$ —— $O, A$ 兩點的水平距離(架空綫的跨距)；

$H$ —— $O, A$ 兩點的高度差；

$\varphi$ ——架空綫任意一點的切線對  $x$  軸的偏角；

$\alpha$ —— $OA$  線對  $x$  軸的偏角。

若從架空綫中切出一小段  $dL$ ，那麼作用在這一段  $dL$  上的各方向的力應當平衡，所以

$$\sigma \cos \varphi = \sigma \cos \varphi + \frac{d}{dx}(\sigma \cos \varphi) dx, \text{ 即 } \frac{d}{dx}(\sigma \cos \varphi) = 0. \quad (2-1)$$

$$\sigma \sin \varphi + gdL = \sigma \sin \varphi + \frac{d}{dx}(\sigma \sin \varphi) dx,$$

即

$$\frac{d}{dx}(\sigma \sin \varphi) dx = gdL. \quad (2-2)$$

由(2-1)式知

$$\sigma \cos \varphi = \text{常数} = \sigma_0 \quad (2-3)$$

此式說明沿架空線各點的水平方向的應力均相同，將(2-3)式代入(2-1)式，則

$$\sigma_0 d(\tan \varphi) = gdL. \quad (2-4)$$

此式即為所求的基本方程式。

## 第2节 第一种計算法

在第一章第4節中已經提到1933年蘇聯秦修克博士提出的計算方法，和蘇聯學者鐵爾-麥克爾特強、工程師刻雷然諾夫斯基、我國黃眉教授以及一些歐美學者所提出的一些計算公式都屬於同一種類型的，他們各自推出的公式都可以經過一些變換而變成同樣的公式，所以在此我們把它歸納成一種方法來研究。這種方法的特點是將架空線的荷載近似地看成是沿  $x$  軸分布的，即將(2-4)基本方程式中的  $gdL = gdx$ 。故

$$\sigma_0 d(\tan \varphi) = gdx \quad (2-5)$$

$$\tan \varphi = \frac{1}{\sigma_0} \int_0^x gdx + \tan \varphi_0 \quad (2-6)$$

因為  $\tan \varphi = \frac{dy}{dx}$ ，故

$$y = \frac{1}{\sigma_0} \int_0^x d\eta \int_0^\eta g d\eta + x \tan \varphi_0. \quad (2-7)$$

根據分部積分原理

$$\int_0^x d\eta \int_0^\eta g d\eta = \int_0^x x g d\eta - \int_0^x \eta g d\eta = \int_0^x (x - \eta) g d\eta. \quad (2-8)$$

故

$$y = \frac{1}{\sigma_0} \int_0^x (x - \eta) gd\eta + x \operatorname{tg} \varphi_0 \quad (2-9)$$

或写成

$$\sigma_0 y = \int_0^x (x - \eta) gd\eta + x \sigma_0 \operatorname{tg} \varphi_0 \quad (2-10)$$

参看图 2-2, 可知(2-10)式中各項的物理意义为:

$\sigma_0 y$ ——悬挂点  $O$  的水平方向应力  $\sigma_0$  对  $p(x, y)$  点的力矩;

$x \sigma_0 \operatorname{tg} \varphi_0$ ——悬挂点  $O$  的垂直方向应力  $\sigma_0 \operatorname{tg} \varphi_0$  对  $p(x, y)$  点的力矩;

$\int_0^x (x - \eta) gd\eta$ ——架空綫从  $O$  到  $p(x, y)$  点区段內的荷重对  $p(x, y)$  点的力矩。

从(2-10)式可得出下列結論: 即对架空綫上的任意一点的  
总力矩恒等于零。此結論称为索多边形原理, 根据此原理不难  
导出架空綫各点的弛度計算公式。茲举两例以說明之。

如图2-3所示, 架空綫等高悬挂于  $O$ 、 $A$  两点, 其  $O-1$ 、 $2-A$

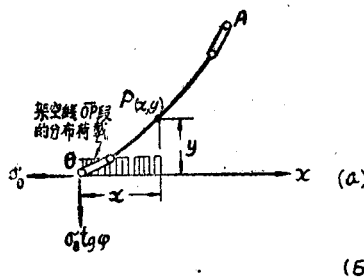
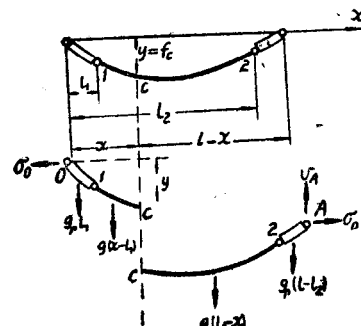
(a)  
(b)

图 2-2

图 2-3

两区段为绝缘子串，其比荷载为 $g_r$ ，而1-C-2区段为金属导线，其比荷载为 $g$ ，试求任意一点C的弛度。

将架空线自C点切开，分为两段来研究，如图2-3(a)，O-1段绝缘子串的重量为 $g_r l_1$ ，作用在离O点 $\frac{l_1}{2}$ 距离之处。

1-C段金属导线的重量为 $g(x-l_1)$ ，作用在离C点 $\frac{x-l_1}{2}$ 距离之处。 $\sigma_0$ 、 $v_0$ 各为悬挂点O处的水平方向应力和垂直方向应力，根据索多边形原理可得

$$\sigma_0 f = v_0 x - g_r l_1 \left( x - \frac{l_1}{2} \right) - g(x-l_1) \frac{(x-l_1)}{2}. \quad (2-11)$$

同理，参看图2-3(b)可得

$$\sigma_0 f = v_A (l-x) - g_r (l-l_2) \left( \frac{l+l_2}{2} - x \right) - g(l_2-x) \frac{(l_2-x)}{2}. \quad (2-12)$$

此外根据力的平衡关系得

$$v_0 + v_A = g_r (l+l_1-l_2) + g(l_2-l_1). \quad (2-13)$$

将以上三式联立求解可得弛度计算式

$$f = -\frac{g_r}{2\sigma_0} x (x-l) + \frac{g_r-g}{2\sigma_0} [(x l - l_1^2)(x-l) + x(l-l_1)^2]. \quad (2-14)$$

如图2-4所示，架空线不等高悬挂于O、A两点，O-1段与n-A段各为绝缘子串，其比荷载为 $g_r$ ，1-n段为金属导线，其分布荷载为 $g$ ，又在1、2、…n各点悬有各集中荷重 $p_1, p_2, p_3, \dots, p_n$ ，试求任意点C(x, y)的弛度。

设任意点C(x, y)在1-2区段内，即 $l_1 < x < l_2$ ，参看图2-4

(b)知O-1段绝缘子串的重量为 $g_r l_1$ ，作用于离O点为 $\frac{l_1}{2}$ 距离

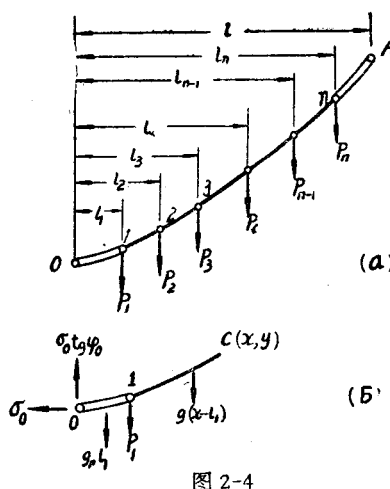


图 2-4

之处，集中荷重  $p_1$  作用于离  $O$  点为  $l_1$  距离之处，金属导线  $1-x$  段的重量为  $g(x-l_1)$ ，作用于离  $C$  点  $\frac{x-l_1}{2}$  距离之处。在  $O$  点有水平方向应力  $\sigma_0$  及垂直方向应力  $\sigma_0 \tan \varphi_0$ 。根据索多边形原理知

$$\begin{aligned} \sigma_0 y &= x\sigma_0 \tan \varphi_0 \\ &+ p_1(x-l_1) \\ &+ g(x-l_1) \frac{(x-l_1)}{2} \end{aligned}$$

$$+ g_F l_1 \left( x - \frac{l_1}{2} \right). \quad (l_1 < x < l_2)$$

$$\text{故 } y = x \tan \varphi_0 + \frac{p_1(x-l_1)}{\sigma_0} + \frac{g_F x^2}{2\sigma_0} - \frac{g_F - g}{2\sigma_0} (x-l_1)^2. \quad (l_1 < x < l_2)$$

同理可以推得  $C(x, y)$  在任何区段内  $y$  的计算式为

$$y = \begin{cases} x \tan \varphi_0 + \frac{g_F}{2\sigma_0} x^2, & (0 < x < l_1) \\ x \tan \varphi_0 + \frac{g_F}{2\sigma_0} x^2 - \frac{g_F - g}{2\sigma_0} (x-l_1)^2 + \frac{p_1(x-l_1)}{\sigma_0}, & (l_1 < x < l_2) \\ \dots\dots \\ x \tan \varphi_0 + \frac{g_F}{2\sigma_0} x^2 - \frac{g_F - g}{2\sigma_0} (x-l_1)^2 \\ + \frac{\sum_{j=1}^{i-1} P_j(x-l_j)}{\sigma_0}; & (l_{i-1} < x < l_i) \end{cases} \quad (2-15)$$